

## بررسی و تحلیل ارتعاشی سیستم تعلیق هواپیما در فرود

محمد واعظی نژاد<sup>۱</sup>، سعید محجوب مقدس<sup>۲</sup> و صادق رحمتی<sup>۳</sup>

Vaezi\_mohammad@yahoo.com

### چکیده

یکی از مهمترین فاکتورهای مورد بررسی در طراحی ارایه فرود هواپیما، بررسی اثرات ناشی از فرود هواپیما روی بدن آن و نقش جاذب ارتعاش به عنوان جذب کننده انرژی ناشی از فرود می باشد. در این مقاله به تحلیل دینامیکی ارتعاشات ارایه فرود از دو روش تحلیلی و شبیه سازی نرم افزاری پرداخته شده است. ابتدا معادلات دینامیکی فرود هواپیما با شش درجه آزادی نوشته شده است. معادلات برای حل به فضای حالت تبدیل شده و توسط نرم افزار MATLAB حل شده است. در روش دوم هواپیما در نرم افزار ADAMS مدلسازی شده است. سپس حالت های مختلف فرود با دو چرخ، فرود با سه چرخ، حرکت از روی مانع و تاکسی در این پروژه بررسی شده است. در نهایت سرعت، جابجایی مرکز ثقل هواپیما که از دو روش فوق بدست آمد، مقایسه و تحلیل شدند.

### کلید واژه:

تحلیل دینامیکی- ارایه فرود- جاذب ارتعاش- شبیه سازی نرم افزاری

۱- کارشناسی ارشد مهندسی مکانیک دانشگاه امام حسین (ع)

۲- استادیار، دانشکده مهندسی مکانیک، دانشگاه امام حسین (ع)، Mahjoubmoghadas@yahoo.fr

۳- استادیار، دانشکده مهندسی مکانیک، دانشگاه آزاد اسلامی واحد مجلسی، Srahmati2007@gmail.com

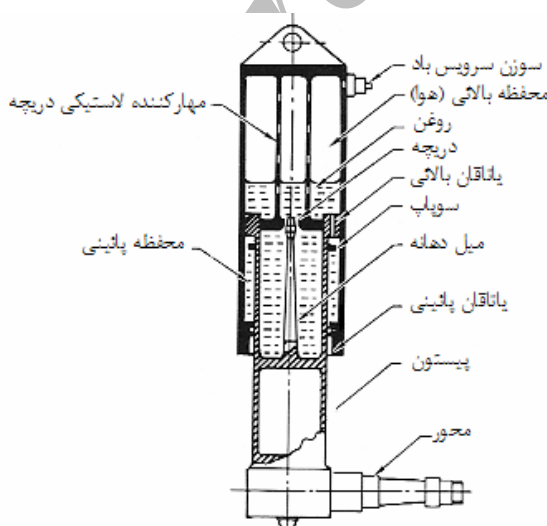
آنچه که در این محاسبات از اهمیت بالایی برخوردار است، راحتی سرنشین و نیروهای وارد بر اربه فرود است. برای بررسی راحتی سرنشین محاسبات شتاب و جابجایی مرکز جرم هواپیما با اهمیت می‌شود.

## ۲- جاذب ارتعاش (Shock Absorber)

جادب‌های ارتعاشی سیستم‌هایی هستند که به انواع مختلف و به شکل‌های گوناگون در اربه‌های فرود وجود دارند. شاید در بعضی از اربه‌های فرود، تایر، ترمز، سیستم‌های ضد لغزش، سیستم جمع کننده و یا سیستم فرمان وجود نداشته باشد اما حتماً یکی از انواع جاذب ارتعاشی در آن وجود دارد. همانطوری که از نام جاذب ارتعاشی پیداست، هدف اصلی وجود آن در اربه فرود، جذب انرژی جنبشی ناشی از فرود و یا تاکسی کردن هواپیماست. به طور کلی دو نوع جاذب ارتعاشی وجود دارد: ۱- نوعی که در آن یک فنر از جنس فولاد یا لاستیک برای جذب ارتعاش استفاده می‌شود. ۲- نوعی که در آن از سیال (گاز یا مایع) برای جذب ارتعاش استفاده می‌گردد که به نوع دوم جاذب‌های ارتعاشی اوئلونیوماتیکی گفته می‌شود. معمولاً گازی که در آن استفاده می‌گردد هوای خشک و یا نیتروژن است.<sup>[۱]</sup>.

## ۳- جاذب‌های ارتعاشی اوئلونیوماتیکی (Oleo - Pneumatic)

امروزه در بیشتر هواپیماها از این نوع جاذب ارتعاشی استفاده می‌گردد. جاذب‌های ارتعاشی اوئلونیوماتیکی نسبت به دیگر جاذب‌های ارتعاشی که در قبیل بیان شد، راندمان بالاتری دارند و قدرت جذب انرژی بهتری نیز دارند.



شکل (۱): جاذب ارتعاش اوئلونیوماتیکی [۲]

## ۱- مقدمه

اربه فرود یکی از قسمت‌های مهم هر نوع هواپیما می‌باشد که کار جذب انرژی ناشی از فرود هواپیما را بر عهده دارد. در مراحل طراحی یک هواپیما، طراحی اربه فرود معمولاً پس از طراحی بدنه و بال هواپیما انجام می‌شود. در واقع طراحی اربه فرود به طراحی بدنه و چیدمان اجزاء هواپیما و محل مرکز ثقل هواپیما وابسته است. اربه فرود بررسی شده در این مقاله از نوع سه چرخی است که عمومی‌ترین و شایع‌ترین نوع اربه فرود می‌باشد. این نوع که دارای دو چرخ اصلی در عقب مرکز ثقل و یک چرخ کمکی در جلوی مرکز ثقل است. برخلاف چرخ دمی، هر سه چرخ این نوع اربه فرود هم اندازه‌اند و بنابراین هواپیما روی باند کاملاً افقی فرار دارد. بدليل اینکه مرکز ثقل در جلوی چرخهای اصلی قرار دارد، هواپیما در روی زمین پایدار است و نیز هنگام فرود می‌تواند به صورت کج بنشیند (دارای زاویه‌ای بین محور طولی و خط باند باشد) همچنین با داشتن این نوع اربه فرود، دید خلبان در روی زمین بهتر است. و اتفاق خلبان، مسافر و محل بار نیز به طور افقی خواهد بود. اکثر هواپیماهای آموزشی و جنگنده از قبیل Mig 29 و F-16 دارای اربه فرود سه چرخه هستند. در این مقاله به بررسی اربه فرود هواپیما به عنوان یک سیستم ارتعاشاتی پرداخته شده است که سعی شده با تحلیل ارتعاشاتی آن، پاسخ‌های سیستم به تحريكات خارجی بدست آیند.

دینامیک هواپیما اغلب از دو جنبه مورد تجزیه و تحلیل قرار می‌گیرد. این دو جنبه عبارتند از:

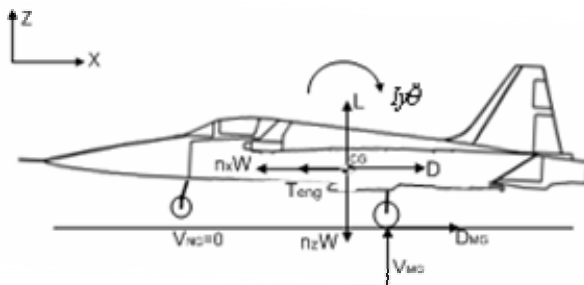
۱- بررسی شرایط پایداری هواپیما در حالت‌های متفاوت

۲- محاسبه نیروها و شتاب‌های دینامیکی وارد بر هواپیما

در بررسی شرایط پایداری، همه نیروهای استاتیکی، دینامیکی و آبرودینامیکی وارد بر همه اجزای هواپیما مطابق با استانداردها و محاسبات تحلیلی، تجربی و عددی محاسبه شده و با توجه به شرایط متفاوت مانند حالت پروازی، نشستن و برخاستن، تاکسی و دور زدن بر هواپیما اعمال می‌شود. سپس معادلات پایداری بدست می‌آید و با استفاده از آنها دامنه متغیرهای طراحی برای برقراری پایداری محاسبه می‌شود. از جمله این متغیرها سرعت نشستن و برخاستن، سرعت دور زدن، زاویه اربه فرود و زاویه دور زدن و ... می‌باشد. در محاسبه نیروها و شتاب‌های دینامیکی وارد بر اجزای هواپیما، نیروهای وارد بر هواپیما مطابق روش‌های توضیح داده شده در بالا، محاسبه شده، سپس شرایط متفاوت هواپیما (که به طور معمول شرایط بحرانی بیشتر مدنظر قرار می‌گیرد) برای محاسبه نیروها و شتاب‌های وارد بر اربه فرود و مرکز جرم هواپیما و دیگر قطعات، بررسی می‌شود.

## ۶- وضعیت فرود دو نقطه‌ای

یک فرود دونقطه‌ای فرودی است که در لحظه فرود فقط دو چرخ اصلی هواپیما با سطح زمین تماس دارند و نیروهای فرود را تحمل می‌کنند و نیرویی به چرخ دماغه وارد نمی‌شود. در شکل(۳) دیاگرام آزاد نیروها و ممان‌های وارد بر هواپیما در وضعیت فرود دونقطه‌ای مشخص شده‌اند.



شکل (۳): دیاگرام آزاد هواپیما (فرود با دو چرخ)

رابطه تعادل در راستای Z

$$\sum F_z = 0 \quad V_{MGR} + V_{MGL} = n_z W - L \quad (1)$$

رابطه تعادل در راستای X

$$\sum F_x = 0 \quad D_{MGR} + D_{MGL} = n_x W - D + T_{eng} \quad (2)$$

L : نیروی لیفت

CG : مرکز جرم هواپیما

W : وزن هواپیما

T<sub>eng</sub> : نیروی جلوبرنده موتور

D : مقاومت هوا در برابر حرکت افقی

E : فاصله مرکز جرم هواپیما از سطح زمین

V<sub>MGR</sub> : نیروی عمودی وارد بر چرخ سمت راست ارابه فرود اصلی از طرف زمین

V<sub>MGL</sub> : نیروی عمودی وارد بر چرخ سمت چپ ارابه فرود اصلی از طرف زمین

D<sub>MGR</sub> : نیروی مقاوم طولی وارد بر چرخ سمت راست ارابه فرود اصلی

D<sub>MGL</sub> : نیروی مقاوم طولی وارد بر چرخ سمت چپ ارابه فرود اصلی

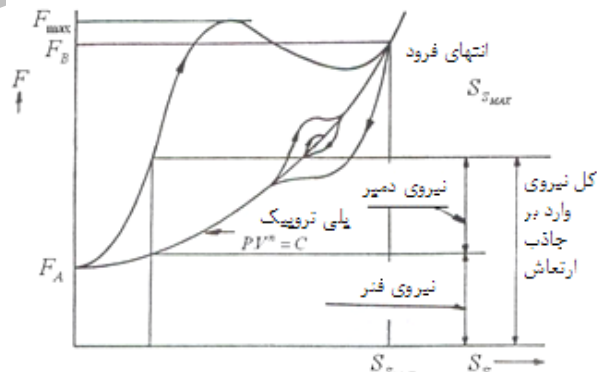
n<sub>z</sub> : ضریب نیروی اینرسی در راستای قائم

n<sub>x</sub> : ضریب نیروی اینرسی در راستای افقی

جادب‌های ارتعاشی اوئلونیوماتیکی با فشردن محفظه‌ای از روغن به داخل محفظه‌ای محتوی هوای خشک یا نیتروژن، انرژی ناشی از فرود هواپیما یا تاکسی کردن آن جذب می‌نماید. این انرژی که توسط جاذب ارتعاشی جذب می‌گردد، روغن را وادار می‌نماید تا از درون دریچه‌های تعییه شده درون جاذب ارتعاشی عبور نمایند و بعد از ایجاد فشار، مجددًا هوای خشک و یا نیتروژن تحت فشار، به سطح روغن وارد کرده و آن را وادار می‌کند تا از درون اریفیس‌های بازگشتی به اتفاق اولیه روغن بازگردند. که البته باید زمان عبور و بازگشت روغن حساب شده باشد [۳].

## ۴- بارگذاری ارابه فرود

در هر هواپیمایی مکانیزم سیستمی که باید در حالت‌های نشستن و برخاستن و هدایت هواپیما بر روی زمین بکار گرفته شود از اهمیت خاصی برخوردار است و اصل طراحی این سیستم که ارابه فرود نامیده می‌شود و بر اساس انواع بارهای موجود بر روی آنها می‌باشد. شکل(۲) مقدار نیروی وارد شده به جاذب ارتعاش را در طول زمان فرود نشان می‌دهد [۴].



شکل (۲): نیروی وارد به جاذب ارتعاش در حین فرود [۴]

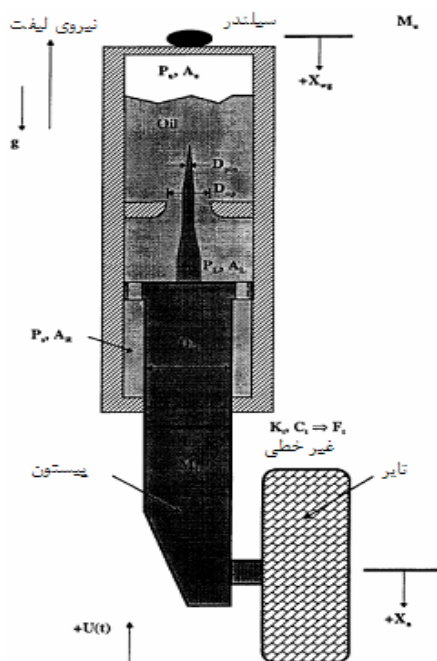
## ۵- بررسی شرایط فرود

آنچه که در این قسمت مورد بررسی قرار می‌گیرد، تحلیل نیروهای وارد از طرف زمین به ارابه‌های فرود اصلی و دماغه هواپیما در وضعیت‌های مختلف فرود می‌باشد. چون هواپیما شرایط فرود مختلفی دارد، باید در هر وضعیت فرود نیروهای وارد بر آن تحلیل شوند. در هر کدام از شرایط فرود، نیروهای خارجی اعمالی بر هواپیما باید با نیروهای اینرسی خطی و دورانی در حال تعادل باشند.

نیروی جلوبرنده موتور در شرایط فرود (و معمولاً فرض می‌شود که این نیرو با نیرو مقاومت در هوا برابر است.

$$(T_{eng}) = D$$

با ممان گیری حول مرکز جرم هواپیما می‌توان شتاب زاویه‌ای لازم برای شرایط تعادل را نیز بدست آورد.

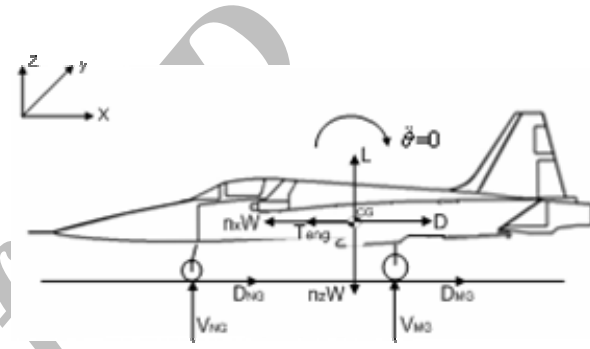


شکل (۵): نمای شماتیک یک ارabe فرود اصلی [۵]

$$\sum M = I_y \ddot{\theta} \quad (۴)$$

$$I_y \ddot{\theta} = B(V_{MGr} + V_{MGL}) + E(D_{MGr} + D_{MGL}) - ET_{eng} \quad (۴)$$

$$\ddot{\theta} = [B(V_{MGr} + V_{MGL}) + E(D_{MGr} + D_{MGL}) - ET_{eng}] / I_y \quad (۴)$$



شکل (۴): دیاگرام آزاد هواپیما (فرود با سه چرخ)

#### ۷- وضعیت فرود سه نقطه‌ای

فرود سه نقطه‌ای، فرودی است که در طی آن چرخ‌های اصلی و چرخ دماغه با سطح زمین برخورد می‌نمایند و در تحلیل نیروهای وارد از طرف زمین مشارکت می‌کنند. این نوع فرود برای چرخ‌های دماغه شرایط بحرانی به وجود می‌آورد. و در حالت فرود دو نقطه‌ای شرایط بحرانی برای چرخ‌های اصلی به وجود می‌آید. معادلات تعادل هواپیما وضعیت فرود سه نقطه‌ای به همان روشهایی که برای وضعیت فرود دو نقطه‌ای به دست آمد، محاسبه می‌شود.

$$\sum F_Z = 0 \quad V_{MGr} + V_{MGL} + V_{NG} = n_z W - L \quad (۵)$$

$$\sum F_x = 0 \quad D_{MGr} + D_{MGL} + D_{NG} = n_x W - D + T_{eng} \quad (۶)$$

برای فرود سه نقطه‌ای فرض می‌شود که از ممان حاصل از دوران هواپیما حول y توسط چرخهای دماغه ممانعت به عمل می‌آید. و در نتیجه شتاب زاویه‌ای هواپیما صفر خواهد شد. که البته این مساله نیروهای وارد بر چرخهای دماغه را به بیشترین حد ممکن خواهد رساند.

$$\sum M_{CG} = 0 \quad V_{NG} C - D_{NG} E = \quad (۷)$$

$$l'(V_{MG} + V_{MGL}) + E(D_{MGr} + D_{MGL}) - ET_{eng}$$

#### ۸- تحلیل دینامیکی ارabe فرود

در محاسبه نیروهای وارد بر هواپیما، همانگونه که توضیح داده شد، نیروهای وارد بر ارabe فرود از اهمیت بالاتری به تناسب دیگر قطعات برخوردار است. ارabe فرود، چه در شرایط متفاوت تاکسی و چه در حالات مختلف فرود همواره در معرض بالاترین سطح نیرو و شتاب است. لذا اغلب طراحان و سازندگان به جای بررسی کل هواپیما به تجزیه و تحلیل ارabe فرود اکتفا کرده و به نتایج مطلوبی نیز در این زمینه دست یافته‌اند [۹-۵].

عملکرد ارabe فرود از چندین جنبه مورد بررسی قرار می‌گیرد. در بعضی از منابع [۵] با استفاده از شکل جاذب ارتعاشی ارabe فرود و با استفاده از روابط سیالات، به محاسبات فشار، شتاب، نیرو و جابجایی آن پرداخته می‌شود.

در شبیه‌سازی یک درجه آزادی، کل اربابه فرود به همراه جاذب ارتعاش را به صورت یک سیستم یک درجه آزادی مشابه شکل(۷) زیر می‌توان شبیه‌سازی نمود. در این شبیه سازی جرم نشان داده شده، نماینده جرم هواپیما و  $k$  فنر و  $C$  دمپر نشان داده شده، به ترتیب جایگزین سختی (هوای) و میرایی (روغن) جاذب ارتعاش اربابه فرود می‌باشد.

در این شبیه‌سازی از جرم و خاصیت ارتجاعی تایر اربابه فرود چشم پوشی شده است. علت این صرف نظر به علت ناچیز بودن جرم و خاصیت ارتجاعی تایر در مقایسه با اربابه فرود و جرم هواپیما است. حال معادلات دینامیکی حاکم بر این سیستم به این صورت استخراج می‌شود. این معادلات را می‌توان با استفاده از روش‌های ارتعاشاتی از جمله لاپلاس برای دو جواب خصوصی و عمومی حل کرد.  $F(t)$  می‌تواند نماینده نیروهای ورودی به سیستم اربابه فرود باشد.

$$m\ddot{x} + cx + kx = F(t) \quad (9)$$

با حل معادله فوق، جابجایی، سرعت و شتاب به صورت زیر به دست می‌آید:

که در آن

$$x(t) = 2V_0 me^{\frac{-ct}{2m}} \frac{\sin(\frac{Pt}{2m})}{P} \quad (10)$$

$$P = \sqrt{-4km + c^2}$$

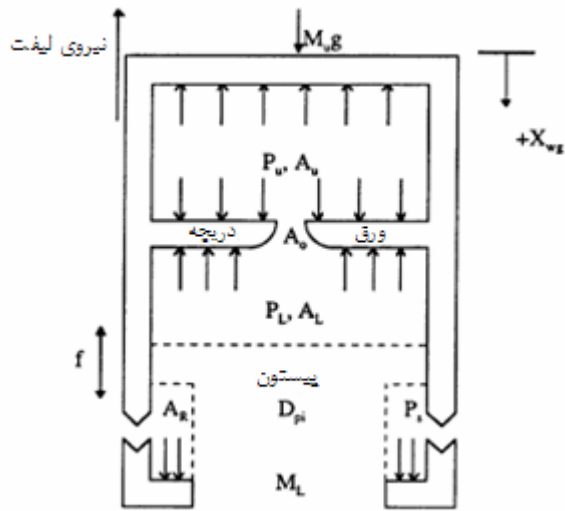
$$v(t) = -V_0 ce^{\frac{-ct}{2m}} \frac{\sin(\frac{Pt}{2m})}{P} + V_0 e^{\frac{-ct}{2m}} \cos\left(\frac{Pt}{2m}\right) \quad (11)$$

$$a(t) = V_0 \frac{c^2}{m} e^{\frac{-ct}{2m}} \frac{\sin(\frac{Pt}{2m})}{2P} - \quad (12)$$

$$V_0 \frac{c}{m} e^{\frac{-ct}{2m}} \cos\left(\frac{Pt}{2m}\right) - \frac{PV_0}{2m} e^{\frac{-ct}{2m}} \sin\left(\frac{Pt}{2m}\right)$$

معادلات شتاب، سرعت و جابجایی ارتباط نزدیکی با شرایط اولیه جابجایی و سرعت هواپیما دارد. به طور مثال در لحظه فرود و قبل از تماس با زمین فرض می‌شود،  $x(0) = V$ ,  $\dot{x}(0) = 0$ ,  $\ddot{x}(0) = 0$  که  $V_0$  راستای سرعت هواپیما در جهت قائم است و فرض می‌شود  $mg = L$  است. بنابراین  $\ddot{x}(0) = 0$  خواهد بود.

شایان ذکر است که در این حل فرض شده است که  $k$  و  $c$  به صورت خطی تغییر می‌کند ولی در واقعیت ممکن است به صورت نمایی و یا چند جمله‌ای تغییر کنند. اما باید دید که این فرض چه مقدار جواب معادلات را بهبود می‌بخشد. تفاوت‌هایی که در پاسخ دینامیکی اربابه فرود در حالت‌های متفاوت فرود و تاکسی و برخورد با موانع به وجود می‌آید ناشی از شرایط اولیه نیروهای خارجی متفاوت است. لذا حل

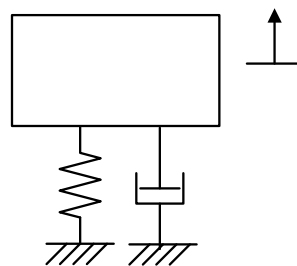


شکل (۶): نمای شماتیک جرم داخلی و سینتلر اربابه فرود اصلی [۱۵]

در این محاسبات یا از روابط تحلیلی کمک گرفته می‌شود و یا با استفاده از نرم افزارهای CFD نتایج به دست می‌آید.

#### ۹- شبیه سازی ارتعاشی هواپیما

شیوه دیگر تحلیل دینامیکی اربابه فرود، شبیه سازی ارتعاشی آن است. در این شیوه اربابه به صورت سیستمی با چند درجه آزادی با ترکیبی سری و موازی از جاذبهای و فنرها شبیه سازی شده و معادلات حاکم بر آن استخراج می‌شود. سپس تحت شرایط تحولیک قرار داده شده و با استفاده از روش‌های متداول شبیه سازی، به صورت یک و دو درجه آزادی است که در شکل های (۷) و (۸) نشان داده شده است [۱۰ و ۱۶]. شیوه‌های دیگری نیز وجود دارد که در قسمتهای بعدی به آن پرداخته می‌شود.



شکل (۷): شبیه سازی یک درجه آزادی [۱۰]

#### ۱۰- شبیه سازی یک درجه آزادی

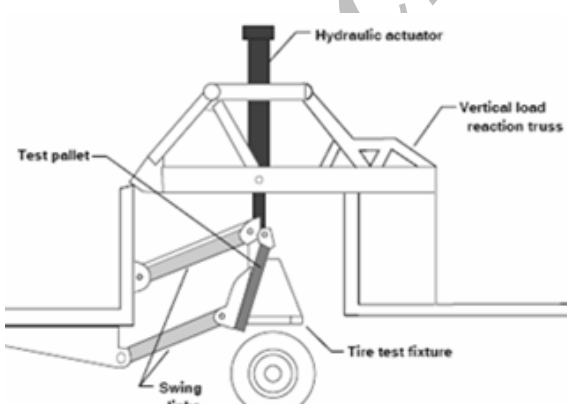
اربابه فرود را می‌توان با استفاده از مشخصات هندسی و فیزیکی به دو صورت که آمیخته‌ای از جرم و فنر و دمپر است، شبیه سازی کرد.

## ۱۲- انواع دیگر شبیه سازی

روش دیگری که امروزه با رشد سخت افزاری و نرم افزاری کامپیوتر به طور وسیع و با دقت خوبی استفاده می شود، استفاده از روش های عددی در شبیه سازی حالات متفاوت اربه فرود و یا به طور کلی هواپیما است. در این روش اغلب از نرم افزار ADAMS برای شبیه سازی اربه فرود و یا هواپیما [۱۱ و ۱۲] استفاده می شود. دقت محاسبات در این نرم افزار تابع اجرای دقیق شرایط شبیه سازی می باشد.

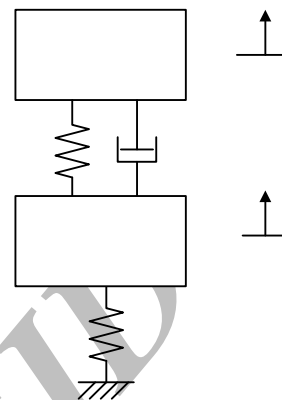
بهترین روش شبیه سازی دینامیکی اربه فرود، استفاده از شیوه های تجربی می باشد. به منظور انجام این عمل به طور معمول از دو روش استفاده می شود. روش اول در شکل (۹) نشان داده شده است. در این شیوه تست، یک اربه فرود که عملکردی مشابه با اربه فرود واقعی دارد، ساخته شده و سیستمهای اندازه گیر و سیستمهای جمع آوری اطلاعات به آن متصل می شود. سپس در محل اربه فرود در زیر هواپیما نصب می شود. سپس حالات متفاوت فرود با آن آزمایش شده و به وسیله سیستمهای اندازه گیر نتایج تست استخراج و مورد تجزیه و تحلیل قرار داده می شود. شاید بتوان گفت که هیچ روشی به مانند این شیوه دقیق و مؤثر نخواهد بود. اما هزینه بالای این عمل انجام آن را مشکل ساخته است.

در روش دیگری از تست های تجربی از آزمایشی به نام دراپ تست (drop test) استفاده می شود. در این روش نیز، در آزمایشگاه شرایط فرود بر روی یک اربه فرود واقعی شبیه سازی شده و نتایج آن با استفاده از حسگرهای اندازه گیر شتاب، جابجایی و سرعت و نیرو استخراج می شود [۷].



شکل (۹): سیستم های تست مکانیکی اربه فرود کانویر ۹۹۰ [۱۳]

این معادله و یا معادلات حاکم بیانگر حل معادله اساسی شبیه سازی دینامیکی سیستم خواهد بود.



شکل (۸): شبیه سازی دو درجه آزادی [۶]

## ۱۱- شبیه سازی دو درجه آزادی

در این حالت اربه فرود به صورت شکل (۸) شبیه سازی می شود که  $m_1$  و  $m_2$  و  $k_1$  و  $k_2$  بیانگر جرم هواپیما و خاصیت ارتجاعی و میرایی حاذب ارتعاش می باشند.  $m_1$  جایگزین جرم اربه فرود، تایر و متعلقات آن و  $k_1$  به عنوان خاصیت ارتجاعی تایر می باشد.

معادلات دینامیکی حاکم بر این سیستم به صورت زیر استخراج می شوند:

$$\begin{aligned} m_1 \ddot{x}_1 + k_1 x_1 - k_2 (x_2 - x_1) - c (\dot{x}_2 - \dot{x}_1) &= 0 \\ m_2 \ddot{x}_2 + k_2 (x_2 - x_1) + c (\dot{x}_2 - \dot{x}_1) &= 0 \end{aligned} \quad (13)$$

$x_1$ : جابجایی اربه فرود

$x_2$ : جابجایی بدنه هواپیما

$\dot{x}_1$ : سرعت عمودی اربه فرود

$\dot{x}_2$ : سرعت عمودی بدنه هواپیما

دو معادله فوق به صورت ماتریسی به شکل زیر نوشته می شوند. ماتریس های جرم، سختی و میرایی مشخص شده اند.

$$\begin{bmatrix} m_1 & 0 \\ 0 & m_2 \end{bmatrix} \begin{Bmatrix} \ddot{x}_1 \\ \ddot{x}_2 \end{Bmatrix} + \begin{bmatrix} c & -c \\ -c & c \end{bmatrix} \begin{Bmatrix} \dot{x}_1 \\ \dot{x}_2 \end{Bmatrix} + \begin{bmatrix} k_1 + k_2 & -k_2 \\ -k_2 & k_2 \end{bmatrix} \begin{Bmatrix} x_1 \\ x_2 \end{Bmatrix} = \begin{Bmatrix} 0 \\ 0 \end{Bmatrix} \quad (14)$$

جرم ارابه فرودها با یک فنر و دمپر به بدن هواپیما یعنی جرم کل متصل شده است. جرم تایرهای ارابه با یک درجه آزادی را تشکیل می‌دهند. نشان داده شده است که سه درجه آزادی را تشکیل می‌دهند.  $M$  جرم هواپیما نیز دارای سه درجه آزادی می‌باشد. این درجات آزادی عبارتند از حرکت در جهت محور  $X$  (بالا و پائین شدن هواپیما)، دوران حول محور طولی هواپیما  $Y$  (حرکت رول) و دوران حول محور عرضی هواپیما  $Z$  (حرکت پیچ). با استفاده از روش نیوتن معادلات ارتعاشی به صورت زیر بدست می‌آیند:

$$m_1\ddot{x}_1 + k_1x_1 + k_4(x_1 + L\beta - x) + c_1(\dot{x}_1 + L\dot{\beta} - \dot{x}) = 0 \quad (15)$$

$$m_2\ddot{x}_2 + k_2x_2 + k_5(x_2 - L'\beta - r\theta - x) + c_2(\dot{x}_2 - L'\dot{\beta} - r\dot{\theta} - \dot{x}) = 0$$

$$m_3\ddot{x}_3 + k_3x_3 + k_6(x_3 - L'\beta + r\theta - x) + c_3(x_3 + r\dot{\theta} - L'\dot{\beta} - \dot{x}) = 0$$

$$M\ddot{x} - k_4(x_1 + L\beta - x) - c_1(\dot{x}_1 + L\dot{\beta} - \dot{x}) - k_5(x_2 - L'\beta - r\theta - x) - c_2(\dot{x}_2 - L'\dot{\beta} - r\dot{\theta} - \dot{x}) - k_6(x_3 - L'\beta - x + r\theta) - c_3(x_3 + r\dot{\theta} - L'\dot{\beta} - \dot{x}) = 0$$

$$\sum My = I_y\ddot{\theta}$$

$$-c_2(\dot{x}_2 - L'\dot{\beta} - r\dot{\theta} - \dot{x})r - k_5(x_2 - L'\beta - r\theta - x)r$$

$$+c_3(\dot{x}_3 + r\dot{\theta} - L'\dot{\beta} - \dot{x})r + k_6(x_3 - L'\beta - x + r\theta)r$$

$$+Iy\ddot{\theta} = 0$$

$$\sum Mz = I_z\ddot{\beta}$$

$$-c_2(\dot{x}_2 - L'\dot{\beta} - r\dot{\theta} - \dot{x})L' - k_5(x_2 - L'\beta - r\theta - x)L'$$

$$-c_3(\dot{x}_3 + r\dot{\theta} - L'\dot{\beta} - \dot{x})L' - k_6(x_3 - L'\beta - x + r\theta)L'$$

$$+c_1(\dot{x}_1 + L\dot{\beta} - \dot{x})L + k_4(x_1 + L\beta - x)L + I_z\ddot{\beta} = 0$$

$x$ : جابجایی عمودی بدن هواپیما

$x_1$ : جابجایی عمودی ارابه فرو جلویی

$x_2$ : جابجایی عمودی ارابه فرود اصلی سمت چپ

$x_3$ : جابجایی عمودی ارابه فرود اصلی سمت راست

$\dot{x}$ : سرعت عمودی بدن هواپیما

$\dot{x}_1$ : سرعت عمودی ارابه فرود جلویی

$\dot{x}_2$ : سرعت عمودی ارابه فرود اصلی سمت چپ

$\dot{x}_3$ : سرعت عمودی ارابه فرود اصلی سمت راست

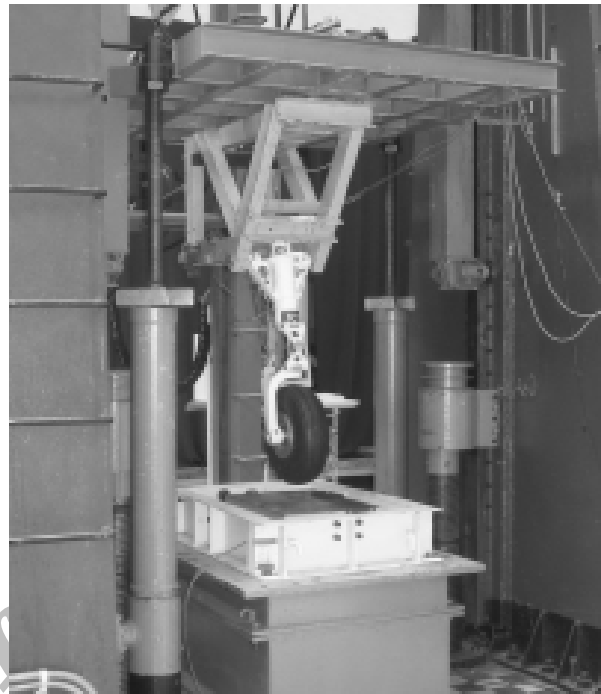
$\ddot{x}$ : شتاب عمودی بدن هواپیما

$\ddot{x}_1$ : شتاب عمودی ارابه فرود جلویی

$\ddot{x}_2$ : شتاب عمودی ارابه فرود اصلی سمت چپ

$\ddot{x}_3$ : شتاب عمودی ارابه فرود اصلی سمت راست

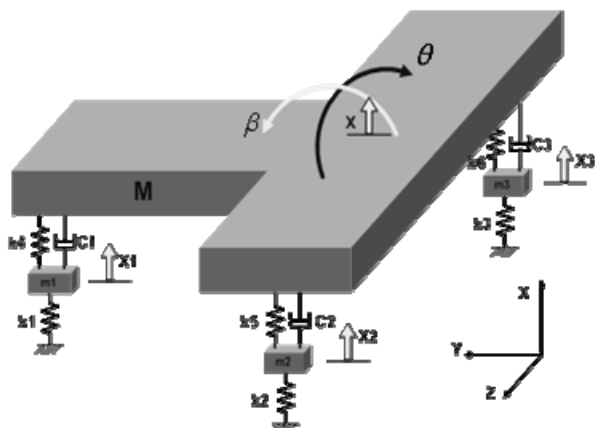
$l$ : فاصله طولی ارابه فرود اصلی از مرکز جرم



شکل (۱۰): آزمایشی در این تست [۷]

### ۱۳- شبیه سازی شش درجه آزادی

نوع دیگر شبیه سازی که برای اولین بار در این مقاله ارائه شده است، شبیه سازی ۶ درجه آزادی است که در شکل (۱۱) مشاهده می‌کنید. در این حالت جرم  $M$  به عنوان بدن هواپیما در نظر گرفته شده است.  $m_1$ ,  $m_2$ ,  $m_3$  و  $m_4$  جرم های ارابه فرود اصلی و دماغه هستند. قابلیت ارتجاعی جاذب ارتعاش (هوای موجود در سیلندر)، با فنرهای  $k_4$ ,  $k_5$  و  $k_6$  شبیه سازی شده است. همین طور میرایی جاذب ارتعاش (روغن موجود در سیلندر) با دمپرهای  $c_1$ ,  $c_2$  و  $c_3$  شبیه سازی شده است. فنرهای  $k_1$ ,  $k_2$  و  $k_3$  سختی تایر را نشان می‌دهند.

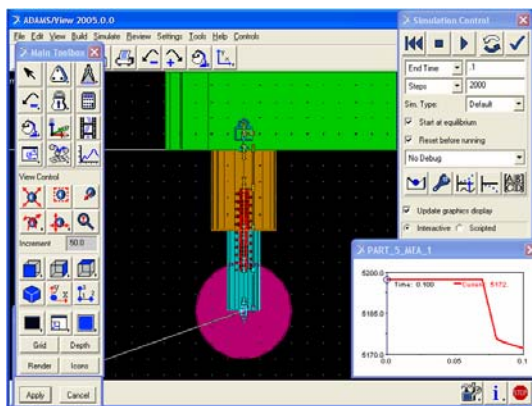


شکل (۱۱): دیاگرام آزاد مدل شش درجه آزادی هواپیما

نیرو، زمان، سرعت، شتاب و گشتاور و ... به راحتی قابل ارائه و استفاده می باشد.

#### ۱۸- مدلسازی هواپیما در ADAMS

برای شبیه‌سازی فرود هواپیما روش‌های مختلفی وجود دارد. در بعضی منابع هواپیما را به طور کامل و در بعضی با مدل سازی ارabe فرود شبیه‌سازی فرود انجام می پذیرد [۱۲, ۱۱].



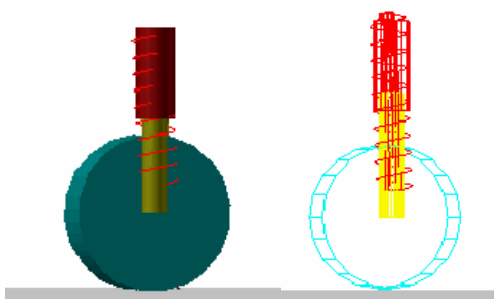
شکل (۱۲): نمایی از مدل ساخته شده در نرم افزار ADAMS View 2005

در این پروژه ابتدا هواپیما را به طور کامل (همراه با ارabe‌های فرود) در نرم‌افزار مدلسازی کرده و سپس در شرایط مختلف فرود و تاکسی فرار داده و شبیه‌سازی و اجرا می‌کنیم.

با توجه به اینکه ما در این پروژه فقط قصد تحلیل دینامیکی ارتعاشاتی را داریم و اثرات ناشی از وجود جاذب ارتعاش را بر روی بدن هواپیما در حالت‌های مختلف فرود و تاکسی بررسی می‌کنیم،

تبدیل به دستورالعمل آمده، انجام می‌شود.

برای ساختن مدل ابتدا یک حجم مثلثی شکل به عنوان بدن هواپیما در نرم‌افزار کشیده می‌شود. وزن هواپیما و ممان‌های اینترسی مطابق اطلاعات آورده شده در قسمت پیوست در مرکز جرم مثلث وارد می‌شود.



شکل (۱۳): مدل ارabe فرود در نرم افزار ADAMS

$\alpha$  : فاصله طولی ارabe فرود دماغه از مرکز جرم

$\beta$  : فاصله عرضی ارabe فرود اصلی از مرکز جرم

$\gamma$  : دوران حول محور طولی هواپیما Y (حرکت رول)

$\theta$  : دوران حول محور عرضی هواپیما Z (حرکت پیچ)

این معادلات را می‌توان به صورت ماتریسی زیر نشان داد:

$$[M] \ddot{[X]} + [C] \dot{[X]} + [K] [X] = [F] \quad (16)$$

#### ۱۴- حل معادلات دینامیکی

به منظور حل معادلات، ابتدا معادلات دیفرانسیل بدست آمده در قسمت قبل به معادلات فضایی حالت انتقال می‌یابد.

#### ۱۵- حل معادلات فضای حالت

شش معادله دیفرانسیل اولیه در قسمت قبل به ۱۲ معادله فضای حالت تبدیل گردید. در این حالت به دلیل تعداد زیاد معادلات امکان حل دستی وجود ندارد. اما با استفاده از نرم افزارهای ریاضی موجود می‌توان معادلات را حل نمود [۱۴]. در این مرحله با توجه به تنش و کاربردهای مختلف نرم افزارهای فنی مهندسی و ایجاد بسته‌های جانبی جدید در این نرم افزارها، چندین روش برای حل معادلات وجود داشت.

#### ۱۶- حل معادلات با استفاده از Function نرم افزار MATLAB

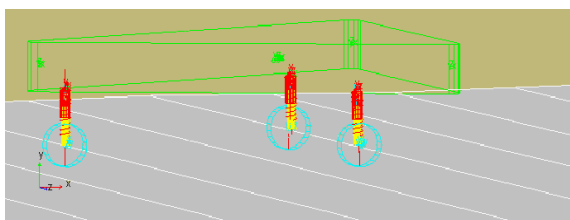
در قسمت FUNCTION شش معادله دینامیکی فرود، متغیرها و نیروهای وارد در برنامه نوشته می‌شود. در برنامه MATLAB مقادیر ماتریس‌های  $[k]$ ،  $[c]$  و  $[m]$  معادلات فضایی حالت و نیروهای وارد شده به سه ارabe فرود آورده شده است. با اجرای برنامه سرعت عمودی مرکز جرم و موقعیت عمودی هواپیما به دست می‌آید. نتایج برنامه در انتهای مقاله با نتایج حالت شبیه سازی نرم افزاری مقایسه شده است.

#### ۱۷- شبیه سازی به وسیله نرم افزار ADAMS

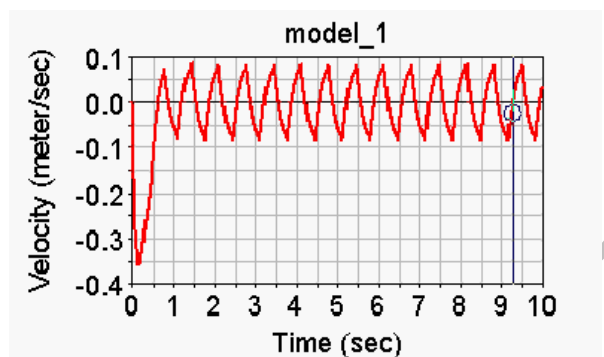
نرم‌افزار ADAMS یکی از قویترین نرم‌افزارها در زمینه تحلیل سیستم‌های دینامیکی می‌باشد، که در این پروژه از آن استفاده شد. ADAMS قابلیت مدلسازی و شبیه سازی مکانیزم‌ها و حرکت اجزاء مختلف مدل را دارد. همینطور امکان انجام تحلیل دینامیکی مدل نیز می‌باشد. نتایج تحلیل هم به صورت نمودار بر حسب متغیرهای

#### ۲۰- شبیه سازی حالت تاکسی

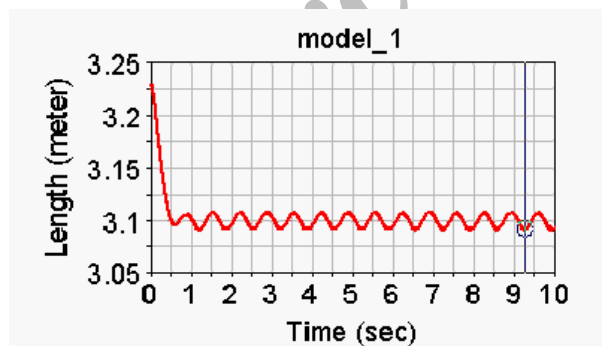
منظور از تاکسی حرکت هواپیما بر روی باند فرودگاه می باشد. هدف از این شبیه سازی بررسی اثرات ناشی از پستی و بلندی های باند فرودگاه بر روی بدنه هواپیما حین حرکت می باشد. حالت استاندارد تاکسی در استاندارد MIL باند سینوسی با دامنه ۱ اینچ و فرکانس  $1/5$  هرتز می باشد. قسمت باند این شبیه سازی در نرم افزار Solid works مدل سازی شده و به نرم افزار ADAMS منتقل شده است.



شکل (۱۵): شبیه سازی تاکسی روی باند سینوسی



شکل (۱۶): نمودار سرعت مرکز ثقل هواپیما بر حسب زمان در حالت تاکسی روی باند سینوسی



شکل (۱۷): نمودار جابجایی مرکز ثقل هواپیما بر حسب زمان در حالت تاکسی روی باند سینوسی

برای مدل سازی ارابه های فرود، دو استوانه رسم می شود. استوانه بزرگتر به عنوان ستون اصلی یا بدنه Strut می باشد. و استوانه کوچکتر به عنوان پیستون و قسمت پائینی ارابه فرود رسم شود. پیستون امکان حرکت در داخل ستون اصلی ارابه فرود را دارد. برای شبیه سازی روغن و گاز درون جاذب ارتعاش از یک فنر که معادل مقدار سختی گاز و مقدار ضریب میرایی روغن درون سیلندر می باشد، استفاده می شود. فنر رسم شده کار یک فنر و دمپر را انجام می دهد. قسمت بالایی فنر به ستون اصلی و قسمت پائینی به پیستون متصل می شود. این اتصال امکان حرکت پیستون در داخل ستون اصلی را در حالت های فشرده شدن فنر را می دهد.

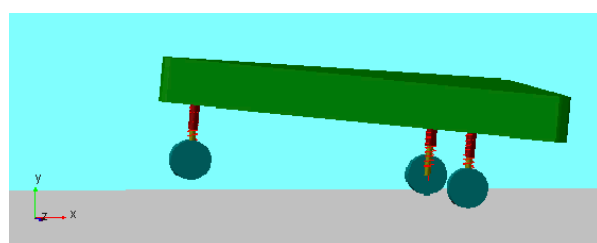
در قسمت پائینی پیستون چرخ ارابه فرود مدل سازی می شود. تمام اطلاعات شامل ابعاد و اندازه های هندسی و مشخصات فیزیکی و مکانیکی قطعات مختلف بر حسب اطلاعات موجود از هواپیمای مورد بررسی، در نرم افزار وارد شده است.

ارابه فرود های کشیده شده مطابق فاصله عرضی و طولی از یکدیگر و مرکز ثقل هواپیما در نقاط معین شده متصل می گردند. از این مدل به دست آمده برای شبیه سازی در حالت مختلف فرود و تاکسی استفاده می شود.

#### ۱۹- شبیه سازی فرود با دو چرخ

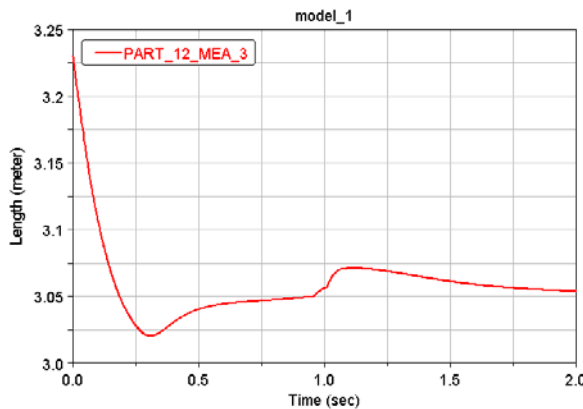
فرود با دو چرخ متدائل ترین حالت فرود این هواپیما می باشد. هواپیما ابتدا با دو چرخ اصلی (عقب) خود با زمین برخورد می کند و سپس چرخ جلویی با نیروی کمتری به زمین برخورد می کند. زاویه فرود هواپیما طبق استاندارد ۵ درجه می باشد که در شکل (۱۴) مشاهده می شود [۱۵].

برای فرود هواپیما دو سرعت به آن داده می شود که در قسمت general motion وارد می شود. سرعت افقی  $100 \text{ m/s}$  و سرعت عمودی  $3 \text{ m/s}$  می باشد. کلیه سرعت ها به مرکز جرم وارد می شود. نتایج حاصل از این حالت در نمودارهای ۱۶ و ۱۷ و ۱۸ نشان داده شده است. نمودارهای نشان داده شده به ترتیب مربوط به جابجایی، سرعت و شتاب بر اساس زمان می باشد.

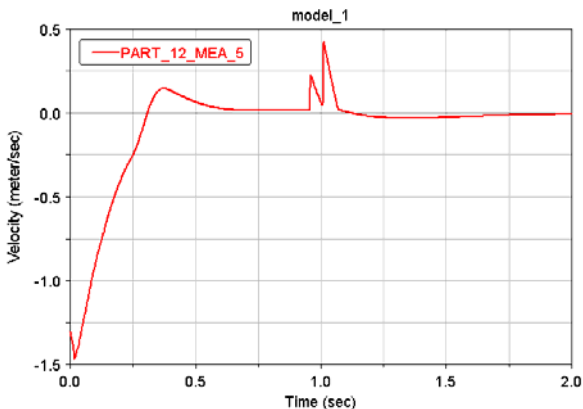


شکل (۱۴): شبیه سازی فرود با دو چرخ

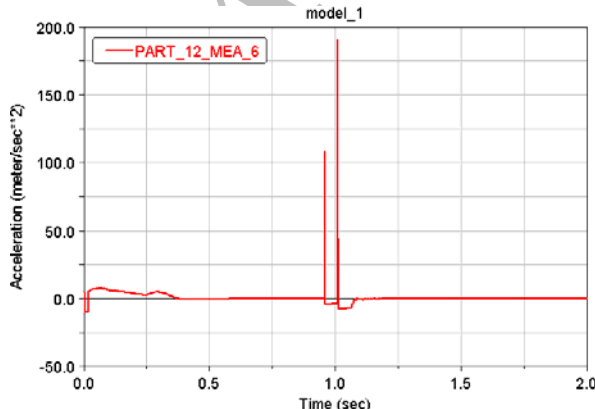
عبور می‌کند. در دو مرحله تغییرات جابجایی روی نمودارهای خروجی مشاهده می‌شود که مرحله اول به خاطر عبور چرخ جلو و مرحله دوم به خاطر عبور چرخ عقب از روی مانع می‌باشد. نتایج این شبیه‌سازی مطابق نمودارهای ۲۰ و ۲۱ و ۲۲ می‌باشد:



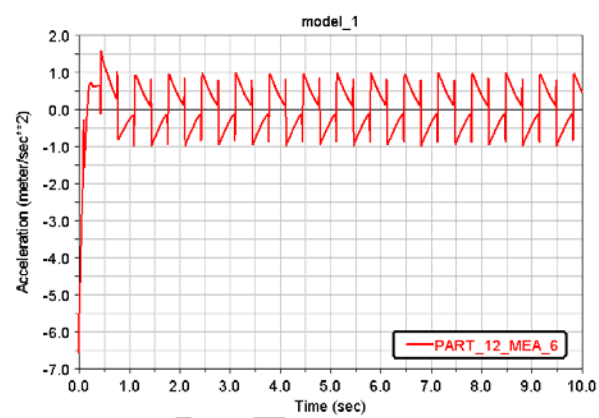
شکل (۲۰): نمودار سرعت مرکز ثقل هواپیما بر حسب زمان در حالت فرود با دو چرخ و حرکت بر روی مانع



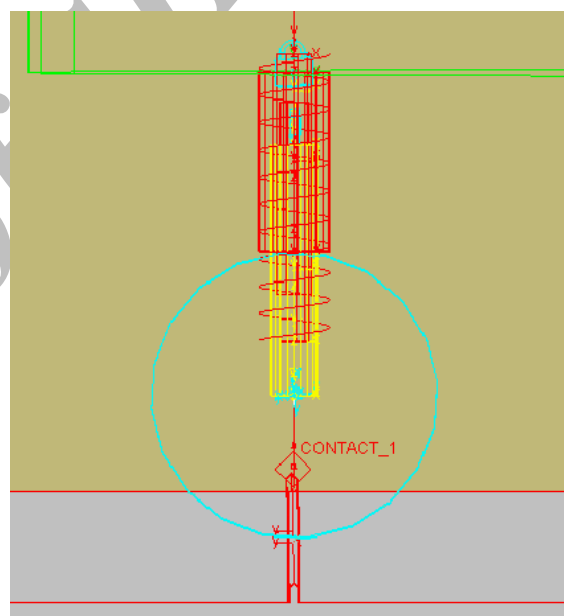
شکل (۲۱): نمودار جابجایی مرکز ثقل هواپیما بر حسب زمان در حالت فرود با دو چرخ و حرکت بر روی مانع



شکل (۲۲): نمودار شتاب مرکز ثقل هواپیما بر حسب زمان در حالت فرود با دو چرخ و حرکت بر روی مانع



شکل (۱۸): نمودار شتاب مرکز ثقل هواپیما بر حسب زمان در حالت تاکسی روی باند سینوسی



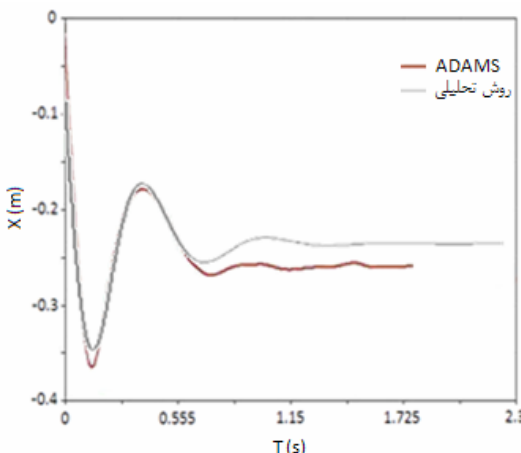
شکل (۱۹): شبیه‌سازی حرکت بر روی مانع

مدل سینوسی توسط spline کشیده شده و با فرمت stl ذخیره گردیده است. مدل solid به شکل parasolid وارد نرم افزار شده است. مدل با دقت ۰/۰۱ واحد یعنی یک سانتی متر کشیده شده است. نمودارهای جابجایی و سرعت بر حسب زمان در قسمت ذیل آورده شده است:

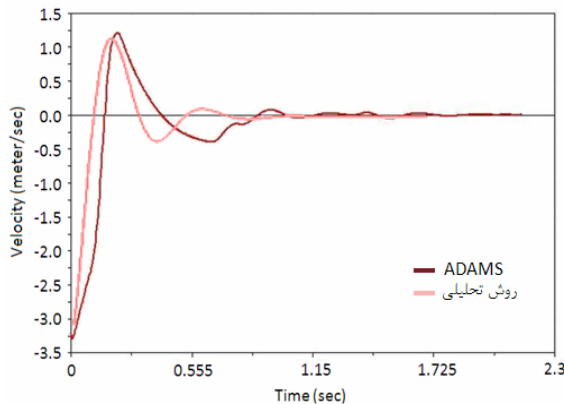
## ۲۱- شبیه‌سازی فرود با دو چرخ و سپس حرکت از روی مانع

حرکت از روی مانع هم یکی از حالات استاندارد MIL می‌باشد که جز موارد تحلیلی در این پژوهه می‌باشد. در این حالت ابتدا هواپیما روی زمین صاف حرکت کرده و سپس از روی مانع با ارتفاع ۱ اینچ

این روش شبیه به یک روش پایه‌ای و کلی می‌باشد که قابلیت تغییر و استفاده در هواپیماهای گوناگون را دارد. به دلیل ساده بودن، روش و استفاده از نرم افزارهای کامپیوتری برای حل معادلات، می‌توان تنها با تغییر در شرایط اولیه و پارامترهای مربوط (مثل جرم، سختی، میرایی و ...) و با صرف زمان کم از آن استفاده نمود.



شکل (۲۳): پاسخ جابجایی مرکز ثقل هواپیما نسبت به زمان، مقایسه روش تحلیلی و ADAMS



شکل (۲۴): پاسخ سرعت مرکز ثقل هواپیما نسبت به زمان، مقایسه روش تحلیلی و ADAMS

جدول (۱): مقایسه نتایج نمودارهای جابجایی

نوع روش	ماکریم تغییرات دامنه (cm)	درصد خطای ماکریم تغییرات	زمان پایان نوسان (S)	درصد خطا	مقدار جابجایی نهائی (cm)	درصد خطا
روش تحلیلی	34.5		2.12		22	%
ADAMS	36.5	% 5	1.96	% 8.1	25.7	14.3

## ۲۲- نتیجه‌گیری

با توجه به موارد و مطالعی که در بخش‌های قبل درباره ارائه فرود به آنها اشاره شد، می‌توان گفت در این مقاله اطلاعات جامعی از تحلیل دینامیکی ارتعاشاتی ارائه فرود هواپیما ارائه شده است. در این مقاله از دو روش کاملاً مجزا استفاده شد و در نهایت نتایج حاصل از دو روش در جداول (۱) و (۲) مقایسه می‌شود. در هر دو روش با توجه به پیچیدگی زیاد مسئله و نبود سابقه کافی از انجام تحلیل دینامیکی فرود هواپیما و عدم دسترسی به اطلاعات محرمانه نظامی، سعی شد با ساده سازی مسئله به نتایج قبل قبولی دست یابیم.

با توجه به متفاوت بودن دو روش از ابتدای کار، مقایسه نتایج و کنترل جواب‌ها با یکدیگر می‌تواند به تایید روش‌های حل مسئله کمک کند. ضمناً به علت نبود امکان تست‌های تجربی در این مقاله، تنها از چند مقدار تجربی موجود برای تایید نتایج استفاده شده است.

در این بخش به مقایسه نتایج دو روش فوق پرداخته می‌شود. شکل (۲۳) مقایسه نمودارهای جابجایی مرکز ثقل هواپیما بر حسب زمان از دو روش تحلیلی و ADAMS می‌باشد. همچنین شکل (۲۴) مقایسه نمودارهای سرعت مرکز ثقل هواپیما بر حسب زمان از دو روش فوق می‌باشد. بنابر نتایج تجربی، جابجایی نهائی جاذب ارتعاش برابر با ۲۴ سانتی متر می‌باشد که نسبت به روش تحلیلی و شبیه سازی نرم افزار ADAMS به ترتیب دارای ۹ و ۶ درصد خطای می‌باشد. زمان شروع نوسان تا میرایی کامل هم حدود ۲ ثانیه می‌باشد که نسبت به روش تحلیلی و روش شبیه سازی نرم افزاری به ترتیب ۵/۶ و ۲/۱ درصد خطای وجود دارد.

نتایج بدست آمده از دو روش حل در جداول (۱) و (۲) مقایسه شده است. درصد خطاهای نوشته در جداول، مربوط به خطای روش تحلیلی نسب به روش ADAMS می‌باشد. یکی از اختلافات موجود، مربوط به زمان پایان نوسان می‌باشد. زمان پایان نوسان نمودارهای سرعت و جابجایی در روش ADAMS کوتاه‌تر است و علت آن وجود اصطکاک و ضرایب میرایی قطعات و اتصالات مدل طراحی شده در نرم افزار می‌باشد که به صورت خودکار توسط نرم افزار در نظر گرفته می‌شود و امکان مدلسازی آنها در روش تحلیلی محدود نمی‌باشد.

با توجه به مسائل مطرح شده، شبیه سازی ۶ درجه آزادی هواپیما به عنوان روش قابل قبولی در شبیه سازی هواپیما بیان شده است که می‌تواند در پروژه‌های دیگر نیز از آن استفاده شده و بخش‌هایی از آن که به علت ساده سازی و وجود خطاهای احتمالی که در این مقاله مغفول مانده به عنوان پیشنهادی برای تکمیل طرح، مطرح می‌گردند.

- [7] G. Mikulowski, J. Holnicki-Szulc, "Adaptive Aircraft Shock Absorbers", Institute of Fundamental Technological Research Świętokrzyska 21, 2003.
- [8] H. Zhang, J. Ning, and O. Schmelzer, "Integrated Landing Gear System Retraction/Extension Analysis Using ADAMS", Canada.
- [9] N. J. Lindsley, B. Nitin, "A Tire Model for Air Vehicle Landing Gear Dynamics", Air Force Research Laboratory 1 and Mechanical Dynamics, Inc. 2.
- [10] جزوء تحلیل دینامیکی ارایه فرود، صنایع هواپیما سازی اصفهان، ۱۳۸۵.
- [11] O.NOEL-Messier-Dowty SA, "Use of ADAMS in dynamic simulation of landing gear retraction and extension", Velizy, France.
- [12] H.Vinayak, "Pitch Plane simulation of Aircraft Landing gear using ADAMS". Lead Analytical Development Engineer, 1998.
- [13] F. Carter John, J. Nagy Christopher, "the NASA Landing Gear Test Airplane", NASA Dryden Flight Research Center, Technical Memorandum 4703 June 1995.
- [14] Somieski Gerhard, "Shimmy Analysis of a Simple Aircraft Nose Landing Gear Model Using Different Mathematical Methods", Deutsche Forschungsanstalt für Luft- und Raumfahrt e.V., Institut für Robotik und Systemdynamik, Oberpfaffenhofen.
- [15] MIL\_A\_0088628 (USAF), 1971

جدول (۲): مقایسه نتایج نمودارهای سرعت

نوع روش	ماکریم تغییرات دامنه (m/s)	درصد خطای ماکریم تغییرات	زمان پایان (S)	نوسان درصد خطا
روش تحلیلی	1.15		2.25	% 4.2
ADAMS	1.22	% 5.7	2.16	

## - ۲۲- مراجع

- [۱] ا. زنبل باف، "طراحی ارایه فرود هواپیما"، پایان نامه جهت اخذ درجه کارشناسی، دانشگاه صنعتی امیرکبیر، ۱۳۷۸.
- [2] N. S.Currey., "Aircraft Landing Gear Design: Principles and Practices" AIAA education Series, 1988.
- [۳] م. هاشم صدرایی، "طراحی هواپیما"، دانشگاه امام حسین (ع)، ۱۳۷۶.
- [4] J. Roskam, "Airplane Design, Layout design of landing gear and systems", Part VI, 1989.
- [5] N. Daniels James, "A Method for Landing Gear Modeling and Simulation With Experimental Validation", George Washington University, Joint Institute for the Advancement of Flight Sciences, NASA Langley Research Center, Hampton, Virginia, 1996.
- [۶] شمس آبادی، "طراحی ارایه فرود هواپیما"، مرکز سپهر، ۱۳۷۵.